

参照秘密级管理★启用前

试卷类型：A

## 2020 级高三上学期校际联合考试

# 地理试题

2022.08

### 注意事项：

1. 答题前，考生务必将自己的姓名、考生号等填写在答题卡和试卷指定位置。
2. 回答选择题时，选出每小题答案后，用铅笔把答题卡上对应题目的答案标号涂黑。如需改动，用橡皮擦干净后，再选涂其他答案标号。回答非选择题时，将答案写在答题卡上，写在试卷上无效。
3. 考试结束后，将本试卷和答题卡一并交回。

一、选择题：本题共 25 小题，每小题 2 分，共 50 分。每小题只有一个选项符合题目要求。

中国国家地理公众号于 2022 年元旦发布了一幅名为《新年日不落》的照片（图 1）。照片呈现了摄影师于北京时间 2022 年 1 月 1 日 0 时至 6 时拍摄的不同高度的太阳影像。据此完成 1~2 题。



图 1

1. 摄影机镜头朝向
  - A. 东方
  - B. 西方
  - C. 南方
  - D. 北方
2. 下列科考站距离照片拍摄地最近的是
  - A. 黄河站(79°N, 12°E)
  - B. 中山站(69°S, 76°E)
  - C. 泰山站(74°S, 77°E)
  - D. 长城站(62°S, 59°W)

广西某县位于 22°54'N~23°27'N, 108°32'E~109°15'E, 图 2 示意该县某山不同坡向各月太阳辐射量变化。据此完成 3~4 题。

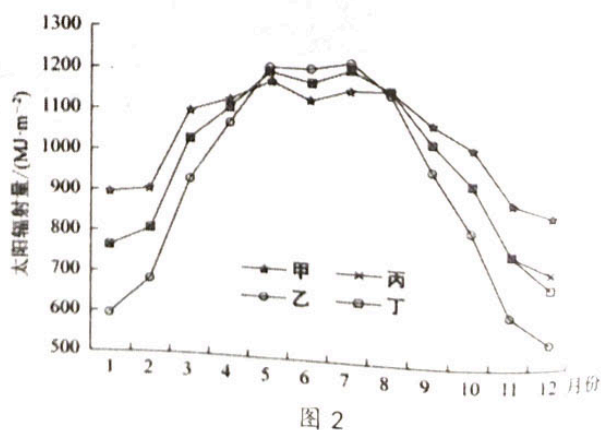


图 2

3. 乙坡向是
  - A. 东坡
  - B. 西坡
  - C. 南坡
  - D. 北坡
4. 甲坡向太阳辐射量 5~7 月小于其他坡向的主要影响因素是
  - A. 太阳方位
  - B. 太阳高度
  - C. 昼夜长短
  - D. 天气状况

某研究所统计了 50°N 以北地区 1979~2016 年发生的所有气旋，并将中心气压值最低的前 5% 的气旋定义为超强气旋。图 3 示意该地区 1979~2016 年超强气旋总频数空间分布。据此完成 5~6 题。

5. 北大西洋地区超强气旋生成的气压带、风带主要是

- ①副极地低气压带 ②副热带高压带  
③极地东风带 ④盛行西风带 ⑤东北信风带  
A. ①③④ B. ①③⑤  
C. ②③④ D. ②④⑤

6. 冬季甲区域的超强气旋比乙区域多发，从洋流的影响考虑，是因为甲区域

- A. 寒流的范围更广  
B. 离岸流规模更大  
C. 暖流的势力更强  
D. 沿岸上升流更盛

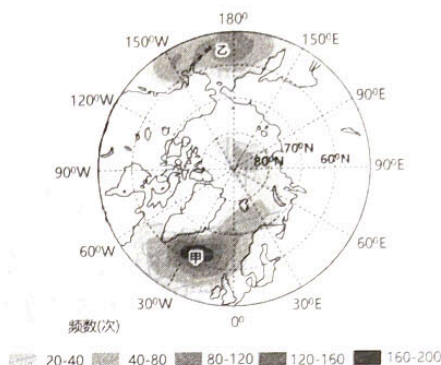


图 3

甲、乙两地纬度相同，相距 500 千米。两地气温、降水资料如表 1 所示。据此完成 7~8 题。

	5月~10月		11月~次年4月	
	平均温 (°C)	降水量 (mm)	平均温 (°C)	降水量 (mm)
甲	27	1650	21	22
乙	27	890	22	77

表 1

7. 两地的纬度约在

- A. 15°S~20°S 之间 B. 15°N~20°N 之间  
C. 25°S~30°S 之间 D. 25°N~30°N 之间

8. 两地之间的地形可能是

- A. 平原 B. 盆地 C. 丘陵 D. 山地

位于中亚的某内陆咸水湖，拥有较丰富的湿地和动植物资源，该湖泊近 60 年水量变化显著。湖滨地下水与湖泊互为补给，但补给量较少。图 4 示意该湖泊 1961~2020 年各时期平均入湖地表径流量、降水量、蒸发量的变化。据此完成 9~11 题。

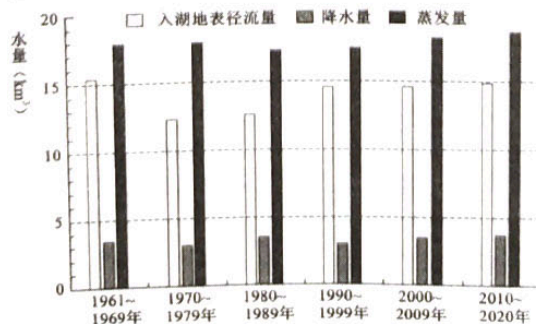


图 4

高三地理试题 第 2 页 (共 8 页)

9. 引起该湖泊近 60 年水量变化的主导因素是  
A. 气温            B. 降水量            C. 蒸发量            D. 地表径流量
10. 推测该湖泊地下水补给较多的时期是  
A. 1961~1979 年            B. 1970~1989 年  
C. 1980~1999 年            D. 2000~2020 年
11. 与 20 世纪 80 年代相比, 2000 年以来该湖泊湖岸地区  
A. 沙尘天气增多            B. 灌溉面积扩大  
C. 湖岸线较稳定            D. 绿洲面积增加

印度洋偶极是指印度洋西部和东部海洋表面温度差, 其与厄尔尼诺都是海洋和大气耦合作用的结果。当印度洋西部的温度高于东部时, 形成正偶极; 当印度洋东部水温异常偏高时, 形成负偶极。图 5 示意印度洋海域赤道上空的热力环流。据此完成 12~13 题。

12. 形成印度洋偶极的主要因素是  
①大气环流            ②洋流  
③纬度差异            ④海陆轮廓  
A. ①②            B. ②③  
C. ②④            D. ①④

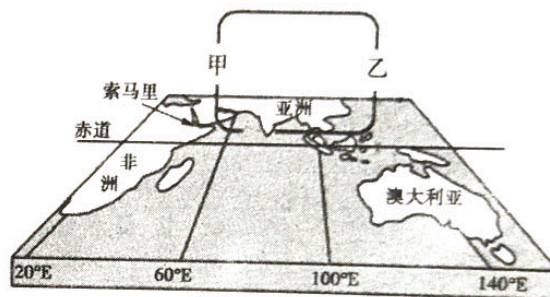


图 5

13. 印度洋负偶极时  
A. 图中热力环流呈顺时针  
B. 非洲东部降水异常增多  
C. 澳大利亚西北部森林火险等级升高  
D. 索马里半岛东部海域渔业资源增产

图 6 是某区域岩层分布及等高线地形图。据此完成 14~15 题。

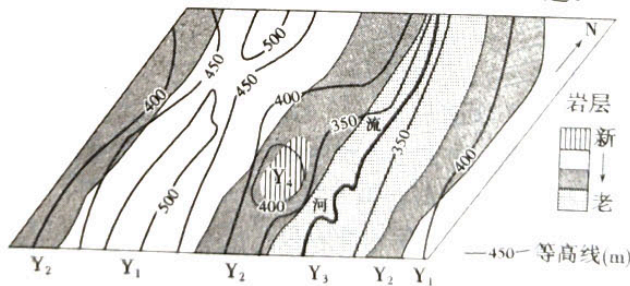


图 6

14. Y<sub>3</sub> 岩层所在地属于  
A. 背斜山            B. 背斜谷            C. 向斜谷            D. 向斜山
15. 从地形和岩层新老关系看, 与 Y<sub>4</sub> 岩层分布处最相似的是  
A. 美国科罗拉多大峡谷地区  
B. 中国云南路南石林地区  
C. 埃及尼罗河三角洲地区  
D. 智利比亚里卡火山地区



气候变化会引起垂直自然带的移动，图7为我国某山地约4800年前至今的垂直带谱变化情况。据研究表明，此山地气候变暖干，自然带上移，基带面积扩大；气候变冷湿则相反。据此完成16~17题。

16. 阶段III为该山垂直带谱现状，据此推断该山地最可能位于
- A. 天山山脉  
B. 秦岭山脉  
C. 太行山脉  
D. 横断山脉

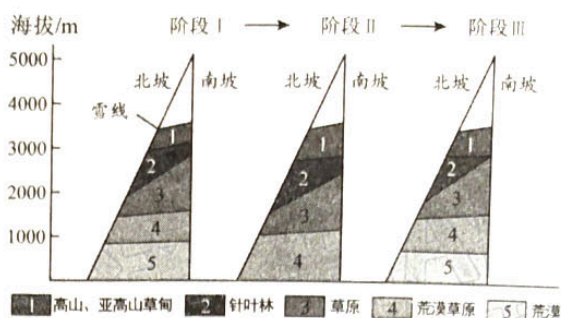


图7

17. 据图推测
- ①受热量条件影响，自然带呈现从5到1的垂直分异  
②北坡水分条件较南坡好，针叶林分布范围广  
③阶段I，气候较阶段III暖干，荒漠草原面积较小  
④阶段II，气候较阶段III冷湿，荒漠面积较大
- A. ①②      B. ②④      C. ②③      D. ①④

人口是经济增长的关键因素，人口流动促进了劳动力资源的优化配置，影响区域经济的发展。图8为2019年中国十大城市人口净流入和净流出（净流入为正值，净流出为负值）统计图（单位:万人）。据此完成18~19题。

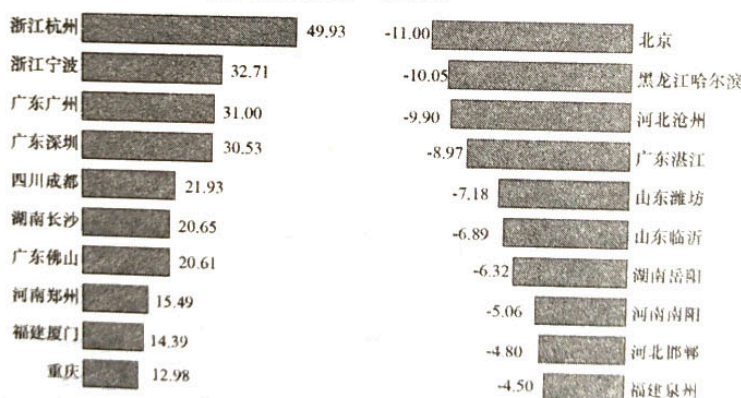


图8

18. 我国十大人口净流入和净流出城市中
- A. 流入城市长三角最多      B. 流入城市经济增速快  
C. 流出城市中西部最多      D. 流出城市城市规模小
19. 城市人口流动与主要成因对应正确的是
- A. 杭州——金融产业大量集聚  
B. 北京——政策引导职能分散  
C. 佛山——完善的城市基础设施  
D. 临沂——传统产业向西部转移

图9为珠江三角洲地区城镇化社会流动内在机制示意图。据此完成20~21题。

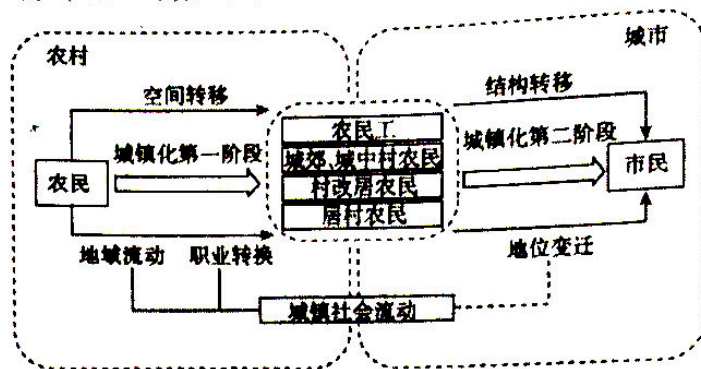


图9

20. 在城镇化的两个阶段中
- A. 第一阶段服务业相对发达  
B. 第一阶段农村劳动力不足  
C. 第二阶段城中村改造加速  
D. 第二阶段城市郊区化显著
21. 为解决珠三角地区外来人口市民化的难题，主要采取的措施有
- ①增加对农民工的社会保障投入  
②改善交通，整治城中村居住环境  
③制定相对合理的城镇落户制度  
④限制人口迁入减轻环境压力
- A. ①②,            B. ①③            C. ②③            D. ②④

水稻种植过程中，秧苗育成后，改人工插秧为手工抛秧，能大幅减轻劳作强度。20世纪90年代我国采用手工抛秧的水稻种植面积不断扩大，其中江苏省是增长速度最快的省份之一。进入21世纪后，在国家农机补贴政策的大力支持下，机械插秧的比例迅速提升。当前，黑龙江省已成为插秧机销售最多的省份。据此完成22~23题。

22. 与湖南省相比，20世纪90年代江苏省水稻抛秧种植面积增长较快的主要原因
- A. 城镇化进程快  
B. 人口密度较大  
C. 农业技术提升  
D. 机械化水平高
23. 当前黑龙江省插秧机销量超过江苏省，反映出黑龙江省
- A. 人均耕地多  
B. 水田面积大  
C. 稻米价格高  
D. 农业补贴多

硬岩隧道掘进机(TBM)是集光、机、电、传感、信息技术于一体的复杂机械。90年代以来，我国TBM从无到有，并逐渐通过技术创新使得不同应用环境下的TBM技术领先世界。目前，我国TBM开始出口法国、意大利等发达国家。据此完成24~25题。

24. 我国TBM技术创新的动力主要源于
- A. 发达的区域交通运输  
B. 完备的制造业产业链  
C. 巨大的国内市场需求  
D. 强大的区域协作能力
25. 我国TBM出口法国、意大利等发达国家，主要是因为我国TBM
- ①产量大 ②品种全 ③款式新 ④质量优
- A. ①②            B. ②③            C. ②④            D. ③④

二、非选择题：本题共 4 小题，共 50 分。

26. 阅读图文资料，完成下列要求。（10 分）

图 10 为某年 10 月 16 日 08 时和 17 日 02 时亚洲局部海平面气压场分布图。图中甲地 16 日下午经历了一次明显的降水过程，17 日凌晨有雾，持续至上午 08 时消散。

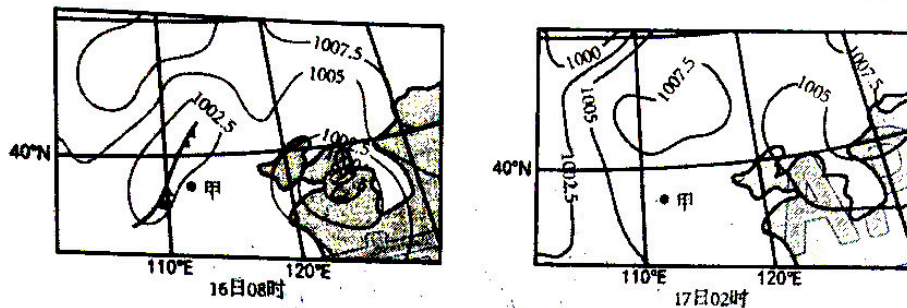


图 10

(1) 判断 16 日 08 时山东半岛的天气状况。（4 分）

(2) 分析 17 日凌晨甲地大雾的形成原因。（6 分）

27. 阅读图文资料，完成下列要求。（14 分）

西南季风和沿岸海底地形是影响粤东至闽南沿岸夏季上升流的重要因素。研究发现，夏季珠江径流对东经 116° 以西的上升流有明显的抑制作用。图 11 示意粤闽沿海部分海底地形。

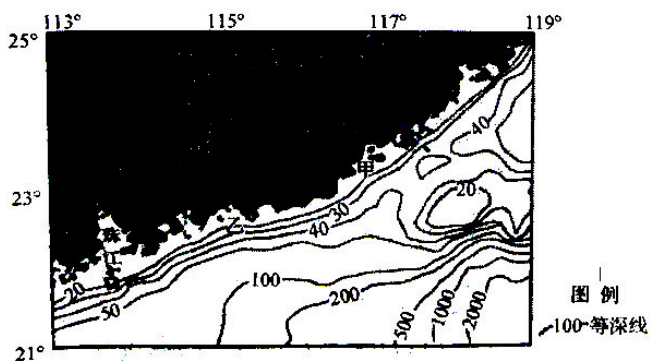


图 11

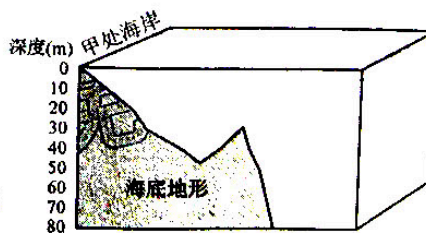


图 12

(1) 分析甲处上升流的形成机制。（6 分）

(2) 在图 12 中绘制甲处附近海水运动示意图。（2 分）

(3) 说明夏季珠江径流对乙处上升流有明显抑制作用的原因。（6 分）



28. 阅读图文资料，完成下列要求。（16分）

地质历史时期，四川盆地曾为古海盆。距今1.9亿年前，板块运动使四川盆地边缘隆起成山，被海水淹没的区域逐渐上升成陆，形成古湖盆。此后气候趋于炎热干燥，盆地内形成了大量盐卤，并保存于地层当中，至今仍被开采利用。2000多万年前，受喜马拉雅造山运动影响，巫山东西两侧水系溯源侵蚀，共同切穿巫山（山体主要为石灰岩），产生河流袭夺现象，湖水外泄，古长江进而向西南继续袭夺金沙江河道，使金沙江成为长江正源。图13示意四川盆地及周边地形和现代水系分布。

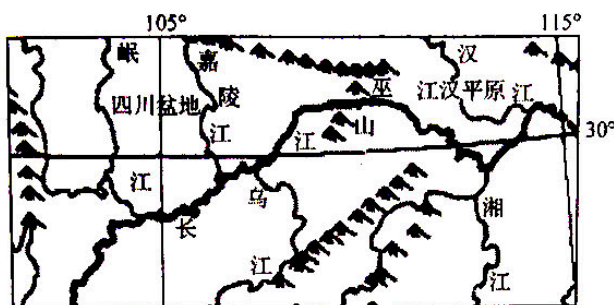


图 13

- (1) 说明巫山东侧河流袭夺西侧河流的条件。（6分）
- (2) 说出河流袭夺后古湖盆自然环境的演变。（6分）
- (3) 简述四川盆地盐矿的形成过程。（4分）

29. 阅读图文资料，完成下列要求。（10分）

1996年，在上海市浦东新区的张江高科技园区，建立了国家生物医药科技产业基地，该基地被誉为“张江药谷”。经过20多年的发展，在1.5 km<sup>2</sup>范围内，集聚了近300家生物医药领域的创新企业，以及近30个国内外知名企业的研发中心、地区总部项目。近几年，“张江药谷”的企业与上海市金山区合作，形成了“研发在张江、制造在金山”的联动格局。图14为“张江药谷”和张江金山生物医药园位置示意图。

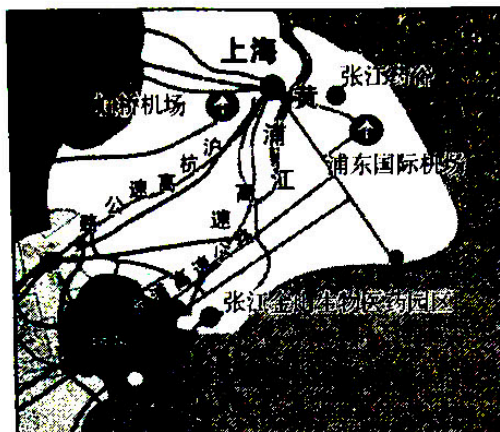


图 14

(1) 说明“张江药谷”的企业将产品研发与销售部门保留在张江的主要原因。（6分）

(2) 简述张江金山生物医药园区对金山区产业升级的促进作用。（4分）




## 关于我们

自主选拔在线是致力于提供新高考生涯规划、强基计划、综合评价、三位一体、学科竞赛等政策资讯的升学服务平台。总部坐落于北京，旗下拥有网站（网址：[www.zizzs.com](http://www.zizzs.com)）和微信公众平台等媒体矩阵，用户群体涵盖全国90%以上的重点中学师生及家长，在全国新高考、自主选拔领域首屈一指。

如需第一时间获取相关资讯及备考指南，请关注**自主选拔在线**官方微信信号：**zizzsw**。



 微信搜一搜

 自主选拔在线

